

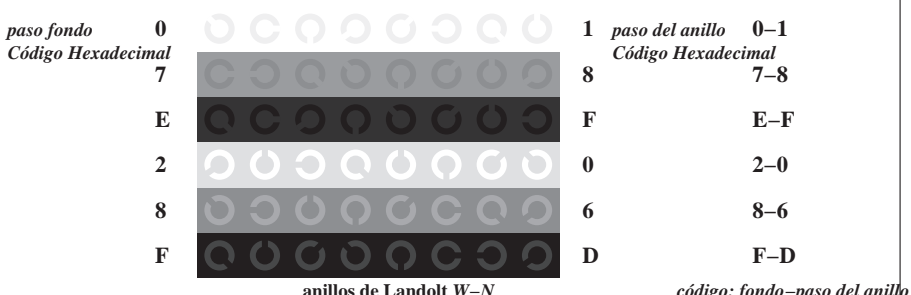
TS730-3, Fig. C1We: Elemento A: rejillas radial N-W, W-N, N-Z y W-Z; PS operator: *rgb/cmy0*

$L^*/Y_{\text{entrada}}$ (absoluta)	18.0/2.5	37.3/9.7	56.7/24.6	76.1/49.9	95.4/88.6	$N_0$ (min.)	$W_1$ (max.)
$w^*-l^*_{\text{CIELAB}, r}$ (relativa)							
$w^*$ entrada	0,000	0,250	0,500	0,750	1,000	$N_0$ (min.)	$W_1$ (max.)

TS730-5, Fig. C2We: Elemento B: 5 equidistantes  $L^*$  pasos de gris +  $N_0$  +  $W_1$ ; PS operator: *rgb/cmy0*

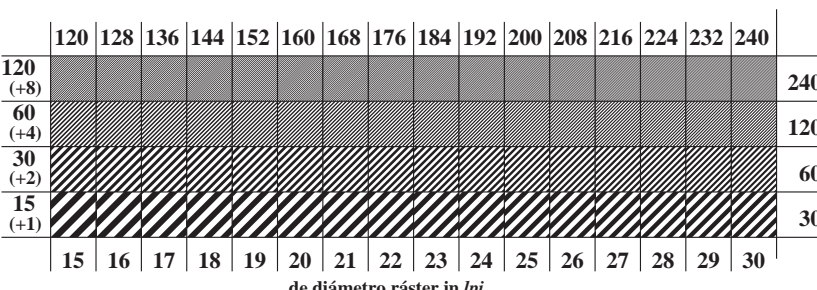
$L^*/Y_{\text{entrada}}$ (absoluta)	18.0/2.5	23.2/3.8	28.3/5.6	33.5/7.8	38.6/10.5	43.8/13.7	49.0/17.6	54.1/22.1	59.3/27.3	64.4/33.3	69.6/40.2	74.8/47.9	79.9/56.5	85.1/66.2	90.2/76.8	95.4/88.6
$N_0$ y código Hex	00;F	01;E	02;D	03;C	04;B	05;A	06;9	07;8	08;7	09;6	10;5	11;4	12;3	13;2	14;1	15;0
$w^*-l^*_{\text{CIELAB}, r}$ (relativa)																
$w^*$ entrada	0,000	0,067	0,133	0,200	0,267	0,333	0,400	0,467	0,533	0,600	0,667	0,733	0,800	0,867	0,933	1,000

TS730-7, Fig. C3We: Elemento C: 16 equidistantes  $L^*$  pasos de gris; PS operator: *rgb/cmy0*

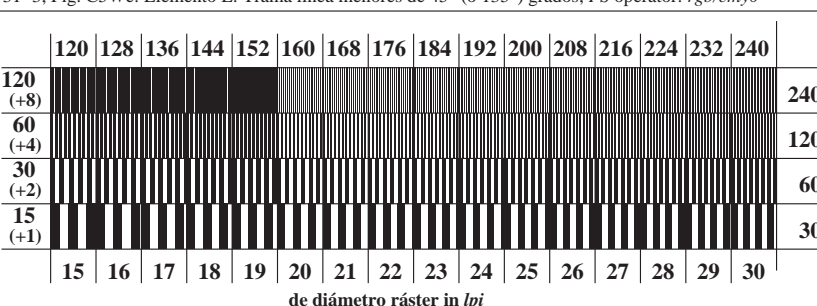


código: fondo-paso del anillo

TS731-1, Fig. C4We: Elemento D: anillos de Landolt W-N; PS operator: *rgb/cmy0*



TS731-3, Fig. C5We: Elemento E: Trama línea menores de 45° (o 135°) grados; PS operator: *rgb/cmy0*



TS731-5, Fig. C6We: Elemento F: Trama línea menores de 90° (o 0°) grados; PS operator: *rgb/cmy0*

